

УДК 534.222.2

ЧИСЛЕННОЕ ИССЛЕДОВАНИЕ ВЛИЯНИЯ ЛОКАЛЬНОГО ЭНЕРГОПОДВОДА НА АЭРОДИНАМИЧЕСКОЕ СОПРОТИВЛЕНИЕ И ТЕПЛООБМЕН СФЕРИЧЕСКОГО ЗАТУПЛЕНИЯ В СВЕРХЗВУКОВОМ ПОТОКЕ ВОЗДУХА

В. А. Левин, В. Г. Громов*, Н. Е. Афолина*

Институт автоматики и процессов управления ДВО РАН, 690041 Владивосток

* Институт механики Московского государственного университета, 117192 Москва

Численно исследовано влияние локального источника энергии в сверхзвуковом потоке на аэродинамическое сопротивление и теплообмен сферического затупления. Расчеты выполнены на основе уравнений Навье — Стокса для термически равновесной модели воздуха. Получены данные о влиянии интенсивности и размера источника энергии на волновое сопротивление, трение и теплообмен. Особое внимание уделяется изучению эффекта снижения аэродинамического сопротивления с помощью сфокусированного теплового источника. Исследованы газодинамические основы этого эффекта. Получены оценки границ снижения сопротивления и найдены оптимальные условия теплоподвода.

Введение. В последние годы возрос интерес к изучению различных методов управляемого изменения структуры течения и аэродинамических характеристик летательных аппаратов с помощью дистанционного воздействия на газовый поток сфокусированного электромагнитного поля (газового разряда). Данная проблема впервые была поставлена в России, затем подобные исследования проводились и в других странах. В настоящее время возможность реализации этой идеи подтверждена лабораторными экспериментами [1–4]. Проведено численное исследование процесса взаимодействия газа с электромагнитным полем и газодинамических параметров этого процесса [5, 6]. Большая часть газодинамических результатов получена на основе модели теплового источника, когда поглощение электромагнитной энергии моделируется выделением тепла с интенсивностью, распределенной по заданному закону в конечной области течения. В [7] в линейной постановке показано, что подвод энергии на участке перед тонким осесимметричным телом весьма эффективен для снижения волнового сопротивления. Возможность радикального изменения поля течения и уменьшения волнового сопротивления путем подвода небольшого количества энергии в локальной области вверх по потоку от затупленного тела продемонстрирована в [8]. Влияние локального энергоподвода на волновое сопротивление осесимметричных острых и тупых тел различной формы изучено в [9–12]. Отмечено появление отрывных зон и существенное снижение (до 50 %) волнового сопротивления. Установлено, что сэкономленная энергия многократно превышает затраченную.

В [13–15] рассмотрены невязкие пространственные течения с энергоподводом перед телами простой формы. Полученные результаты подтвердили возможность изменения подъемной силы и опрокидывающего момента с помощью подвода энергии в набегающий поток.

Результаты расчетов сверхзвукового обтекания сферического затупления вязким теплопроводным газом при наличии теплоподвода приведены в [15, 16]. Анализ полученных

Работа выполнена при финансовой поддержке Российского фонда фундаментальных исследований (код проекта 99-01-00002).

данных показал, что существенное снижение сопротивления может быть достигнуто при весьма малых значениях интенсивности теплоподвода, при этом тепловая нагрузка увеличивается незначительно.

В настоящей работе представлены результаты численного исследования сверхзвукового осесимметричного течения воздуха около лобовой части сферы при наличии теплового источника в набегающем потоке. Вычисления проведены на основе уравнений Навье — Стокса для термически равновесной модели воздуха с использованием метода конечного объема для численного интегрирования уравнений. Изучено влияние локального энергоподвода на структуру течения, аэродинамические силы и теплообмен в зависимости от интенсивности теплоподвода, размера теплового источника, чисел Маха и Рейнольдса.

Газофазная модель. Воздух рассматривается как идеальная смесь $O_2 - N_2$ с постоянными значениями молярных концентраций X_m , равными соответственно 0,21 и 0,79. Вращательные и колебательные степени свободы этих молекул описываются моделью “жесткий ротатор — гармонический осциллятор” с характеристическими колебательными температурами $T_{\nu,O_2} = 2228$ К и $T_{\nu,N_2} = 3336$ К. В данной газофазной модели состояние газа во временно-пространственной точке (t, \mathbf{r}) может быть описано набором независимых переменных $\mathbf{Z} = (p, \mathbf{u}, T)$, где p — давление; \mathbf{u} — вектор скорости; T — температура. Уравнение состояния записывается в виде

$$p = \rho R_a T / \bar{M},$$

где ρ — плотность; R_a — универсальная газовая постоянная; \bar{M} — средняя молекулярная масса смеси. Внутренняя энергия e , отнесенная к единице массы, и теплоемкость при постоянном давлении c_p определяются выражениями

$$e = \frac{5}{2} \frac{R_a}{\bar{M}} T + \frac{R_a}{\bar{M}} \sum_m \frac{T_{\nu,m} X_m}{\exp(T_{\nu,m}/T) - 1},$$

$$c_p = \frac{7}{2} \frac{R_a}{\bar{M}} + \frac{R_a}{\bar{M}} \sum_m \frac{(T_{\nu,m}/T)^2 \exp(T_{\nu,m}/T) X_m}{(\exp(T_{\nu,m}/T) - 1)^2}.$$

Вязкость смеси вычисляется как степенная функция температуры $\mu = a_\mu T^{0,683}$. Теплопроводность смеси λ определяется из условия, что число Прандтля $Pr = 0,7$.

Основные уравнения. Рассматриваемое осесимметричное течение газа рассчитывается на основе уравнений Навье — Стокса для описанной выше газофазной модели. Основные уравнения в цилиндрических координатах (x, y, φ) записываются в интегральном виде

$$\frac{d}{dt} \int_S \mathbf{U} y dS + \int_{\delta S} \mathbf{n} \cdot \mathbf{F} y dl = \int_S \mathbf{\Omega} y dS,$$

где S — фиксированная контрольная область в меридиональной плоскости (x, y) ; δS — граница этой области; $\mathbf{n} = (n_x, n_y)$ — внешняя единичная нормаль к δS ; \mathbf{U} — вектор консервативных переменных, отнесенных к единице объема; $\mathbf{F} = \mathbf{F}^{inv} + \mathbf{F}^{vis}$ — сумма невязких и вязких потоков вектора \mathbf{U} через границу области; $\mathbf{\Omega}$ — вектор источников членов уравнений. Для предложенной газофазной модели эти векторы задаются в виде

$$\mathbf{F} = \left\{ \begin{array}{c} \rho \mathbf{u} \\ \rho \mathbf{u} u + p \mathbf{n} n_x \\ \rho \mathbf{u} v + p \mathbf{n} n_y \\ \rho \mathbf{u} h_0 \end{array} \right\} + \left\{ \begin{array}{c} 0 \\ \tau_x \\ \tau_y \\ \mathbf{q} + u \tau_x + v \tau_y \end{array} \right\},$$

$$\mathbf{U} = \{\rho, \rho u, \rho v, \rho e_0\}^T, \quad \mathbf{\Omega} = \{0, 0, (p + \tau_{\varphi, \varphi})/y, \omega_h\}^T.$$

Здесь u, v — компоненты вектора скорости \mathbf{u} ; $e_0 = e + 0,5(\mathbf{u} \cdot \mathbf{u})$ — полная энергия единицы массы; $h_0 = e_0 + p/\rho$ — полная энтальпия; $\boldsymbol{\tau}_x = (\tau_{xx}, \tau_{xy})$, $\boldsymbol{\tau}_y = (\tau_{yx}, \tau_{yy})$ — вязкие потоки количества движения в осевом и радиальном направлениях соответственно; $\tau_{\varphi, \varphi}$ — азимутальная составляющая вектора вязкого потока количества движения в осевом направлении; \mathbf{q} — поток тепла. Компоненты векторов вязких потоков количества движения соответствуют взятым с обратным знаком ненулевым компонентам тензора вязких напряжений, определяемого выражением

$$\hat{\tau} = \mu \left[\frac{\partial \mathbf{u}}{\partial \mathbf{r}} + \left(\frac{\partial \mathbf{u}}{\partial \mathbf{r}} \right)^T - \frac{2}{3} \left(\frac{\partial}{\partial \mathbf{r}} \cdot \mathbf{u} \right) \hat{I} \right],$$

где \hat{I} — единичный тензор. Тепловой поток \mathbf{q} задается в виде

$$\mathbf{q} = -\lambda \frac{\partial T}{\partial \mathbf{r}}.$$

Предполагается, что интенсивность нагрева газа ω_h распределена в пространстве по закону Гаусса с центром, размещенным на оси течения:

$$\omega_h = a_h \rho \exp \left[-(y^2 + (x - x_h)^2)/r_h^2 \right],$$

где a_h, x_h, r_h — заданные параметры источника.

Численный метод. Численное интегрирование уравнений проводится методом конечного объема с использованием криволинейной структурированной сетки. При таком подходе система конечно-разностных уравнений состоит из численных аналогов законов сохранения массы, импульса и энергии для четырехугольных ячеек, покрывающих расчетную область, и разностной аппроксимации граничных условий. Данным методом определяется приближенное решение $\mathbf{Z}_{i,j}$ в центре каждой ячейки $(x_{i,j}, y_{i,j})$ и в центре каждой стороны ячейки $(x_{w,j}, y_{w,j})$, лежащей на поверхности обтекаемого тела. Ячейки образуются пересечением двух дискретных наборов кривых. Невязкие потоки \mathbf{F}_G^{inv} через границы ячеек вычисляются по результату точного решения задачи о распаде разрыва $\mathbf{Z}_G = \mathcal{R}(\mathbf{Z}_G^L, \mathbf{Z}_G^R)$ (\mathcal{R} — оператор решения задачи). Левые и правые граничные значения \mathbf{Z}_G^L и \mathbf{Z}_G^R внутри ячеек определяются с помощью лимитированной одномерной экстраполяции вектора \mathbf{Z} от центра ячейки к границе. Численные значения вязких потоков \mathbf{F}_G^{vis} через границы ячеек вычисляются с использованием центральных и односторонних разностных формул второго порядка точности. Разностные уравнения решаются по двухслойной неявной итеративной схеме, основанной на неявной аппроксимации нестационарных уравнений Навье — Стокса. При построении неявного итерационного оператора используется (\pm) -расщепление матриц Якоби численных потоков. Его приближенное обращение реализуется с помощью блочного варианта метода последовательной релаксации (метода Гаусса — Зейделя) с LU-разложением блочно-трехдиагональных матриц.

Результаты расчета течения около сферического затупления в тепловом следе. Вначале проведем анализ структуры поля течения около сферы радиуса R , помещенной в дальний тепловой след. В качестве определяющих параметров течения выбираются следующие безразмерные величины: число Маха набегающего потока M_∞ ; число Рейнольдса $Re_{R, \infty}$, вычисленное по параметрам набегающего потока и радиусу сферы R ; безразмерные колебательные температуры $T_{\nu, O_2}/T_\infty$, $T_{\nu, N_2}/T_\infty$; отношение r_h/R ; отношение расстояния между центром источника и точкой торможения на сфере к радиусу сферы d/R ; температурный фактор T_w/T_∞ , где T_w — температура поверхности; параметр интенсивности теплоподвода Q_H , определяемый выражением

$$Q_H = 2\pi \int \frac{\omega_h y}{\rho_\infty u_\infty h_\infty \pi r_h^2} dx dy$$

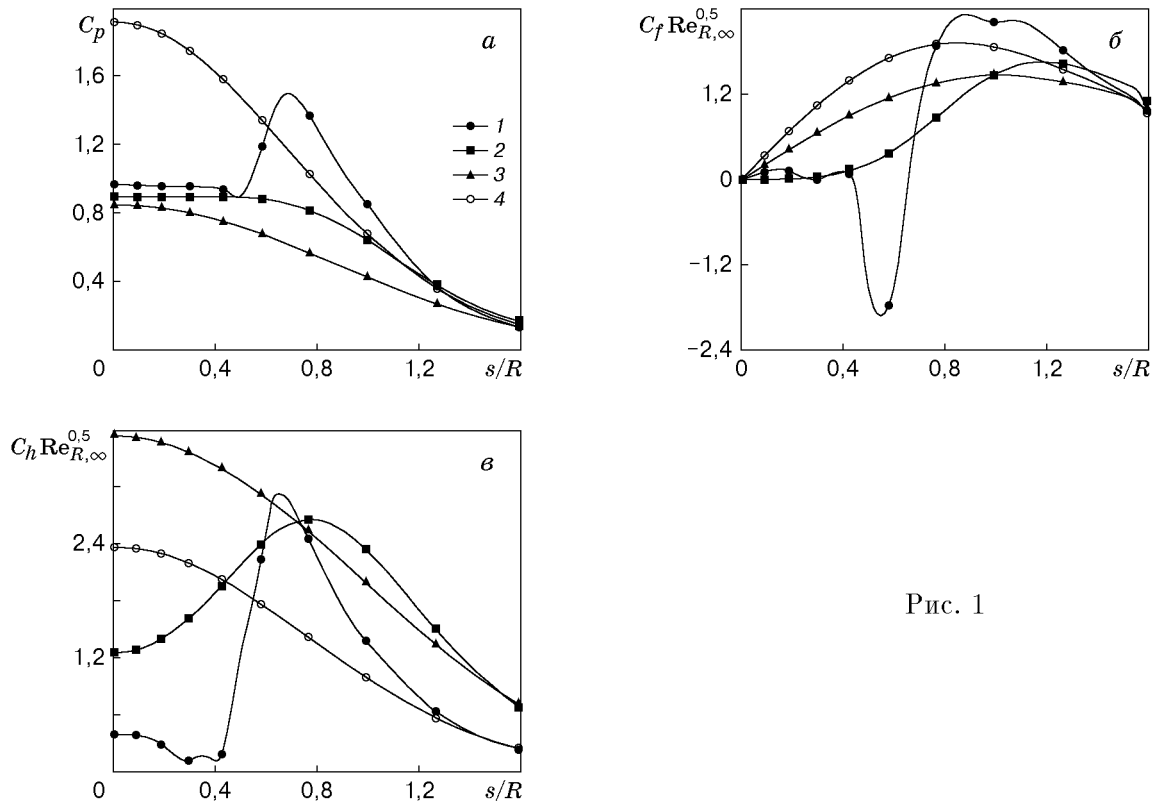


Рис. 1

(интегрирование проводится по всей расчетной области). Параметр Q_H представляет собой отношение суммарной мощности энергоподвода к потоку энтальпии набегающего газа через характерное сечение теплового источника.

Вычисления проведены для некоторых комбинаций чисел Маха и Рейнольдса ($M_\infty = 1,5; 3; 6$, $Re_{R,\infty} = 10^3; 10^4; 10^5$) при $d/R = 7,5 \div 30$ и значениях безразмерной интенсивности теплового источника $Q_H = 0 \div 63$. Температурный фактор полагался постоянным и равным 1,2.

Согласно [15] можно выделить три режима обтекания сферы, помещенной в след теплового источника: квазиравномерный, переходный и аномальный. Типичные для этих режимов распределения вдоль поверхности сферы коэффициента давления C_p , коэффициента трения C_f и числа Стентона C_h , умноженных на $Re_{R,\infty}^{0,5}$, представлены на рис. 1, а–в соответственно в виде функций расстояния s от точки торможения. Указанные параметры вычислялись по формулам

$$C_p = p_w / (0,5 \rho_\infty u_\infty^2), \quad C_f = \tau_w / (0,5 \rho_\infty u_\infty^2), \quad C_h = q_w / (\rho_\infty u_\infty (h_{0,\infty} - h_{0,w})),$$

где p_w , τ_w , q_w — давление, трение и тепловой поток на стенке.

Приведенные данные получены при $M_\infty = 3$, $Re_{R,\infty} = 10^4$, $Q_H = 2$. Аномальному режиму на рис. 1 соответствуют кривые 1 для $r_h/R = 0,05$, $d/r_h = 30$, переходному — кривые 2 для $r_h/R = 0,35$, $d/r_h = 17$, квазиравномерному — кривые 3 для $r_h/R = 0,8$, $d/r_h = 7,5$. Для сравнения на рис. 1 приведены также значения указанных параметров без теплоподвода (кривые 4).

Квазиравномерный режим реализуется при $r_h/R \gtrsim 1$. В этом случае набегающий на сферу поток с параметрами, близкими к осевым значениям в тепловом следе, почти однородный. Поскольку число Маха в следе и осевая компонента потока импульса меньше, чем их значения в невозмущенном потоке, расстояние от головного скачка уплотнения до поверхности тела увеличивается, а давление на стенке и волновое сопротивление могут быть

меньше их значений без подвода тепла. Максимальное значение и суммарный тепловой поток к поверхности тела увеличиваются с ростом интенсивности теплового источника.

Переходный режим течения реализуется, когда поток перед телом существенно неоднородный, но течение в ударном слое остается безотрывным (величина C_f остается положительной (рис. 1,б)). В этом случае вблизи центральной части поверхности сферы образуется застойная зона с почти постоянным давлением и относительно высокой температурой газа. Она имеет форму затупленного конуса, гладко сопряженного с поверхностью сферы. В этой зоне распределение давления вдоль поверхности имеет характерное плато с пониженным значением давления, соответствующим параметрам набегающего потока вблизи оси (рис. 1,а). Максимум теплового потока расположен вблизи границы этого плато, а его значение определяется уровнем плотности потока энергии вдоль оси.

Дальнейшее уменьшение отношения r_h/R приводит к появлению в ударном слое области рециркуляционного течения с одним или несколькими вихрями различной интенсивности, что видно по распределению коэффициента трения (рис. 1,б). В работе [15] этот режим назван аномальным. Отрывная зона возникает начиная с некоторого минимального значения Q_H и с увеличением подвода тепла расширяется в продольном и радиальном направлениях.

Развитая отрывная зона также имеет форму затупленного конуса, но сопрягается с поверхностью сферы под некоторым углом. Волны сжатия, появляющиеся вблизи места сопряжения, сходятся в висячий скачок уплотнения. Скачок, взаимодействуя с головной ударной волной, отклоняет ее навстречу потоку с образованием центрированной волны разрежения и тангенциального разрыва. При достаточно больших углах отклонения за головной ударной волной возникает локальная дозвуковая зона.

Отличительное свойство распределения поверхностного давления при аномальном режиме — появление периферийного максимума, инициирующего основное рециркуляционное течение (рис. 1,а). Локальный пик давления на стенке расположен вблизи границы зоны рециркуляции. Внутри этой зоны давление понижено и близко к значению давления при переходном режиме и том же параметре теплоподвода. Периферийный максимум давления частично или полностью (при малых значениях Q_H) компенсирует падение давления в центральной части поверхности тела. Поэтому заметное влияние подвода тепла на снижение сопротивления начинается с относительно больших значений Q_H , когда отрывная зона достаточно развита. В области отрывного течения находится сравнительно холодный газ, так что интенсивность теплообмена в центральной части поверхности сферы при аномальном режиме может быть существенно ниже ее значения без подвода тепла. В месте присоединения потока интенсивность теплообмена увеличивается, и при достаточно больших значениях Q_H тепловой поток здесь может быть больше его максимального значения без подвода энергии (рис. 1,в).

Значения r_h/R , при которых происходит смена режимов обтекания, зависят от параметров подобия, влияющих на структуру теплового следа. Они уменьшаются при увеличении Q_H и уменьшении $Re_{R,\infty}$.

Аэродинамическое сопротивление и теплообмен. На рис. 2–4 представлены рассчитанные значения коэффициента лобового сопротивления C_x и максимального по поверхности сферы числа Стентона $C_{h,\max}$, определяемые формулами

$$C_x = C_{px} + C_{fx}, \quad C_{h,\max} = \max_s C_h(s),$$

$$C_{px} = -2\pi \int_0^{\pi R/2} \frac{p_w n_x y}{0,5\rho_\infty u_\infty^2 \pi R^2} dl, \quad C_{fx} = -2\pi \int_0^{\pi R/2} \frac{(\boldsymbol{\tau}_{xw} \cdot \mathbf{n})y}{0,5\rho_\infty u_\infty^2 \pi R^2} dl.$$

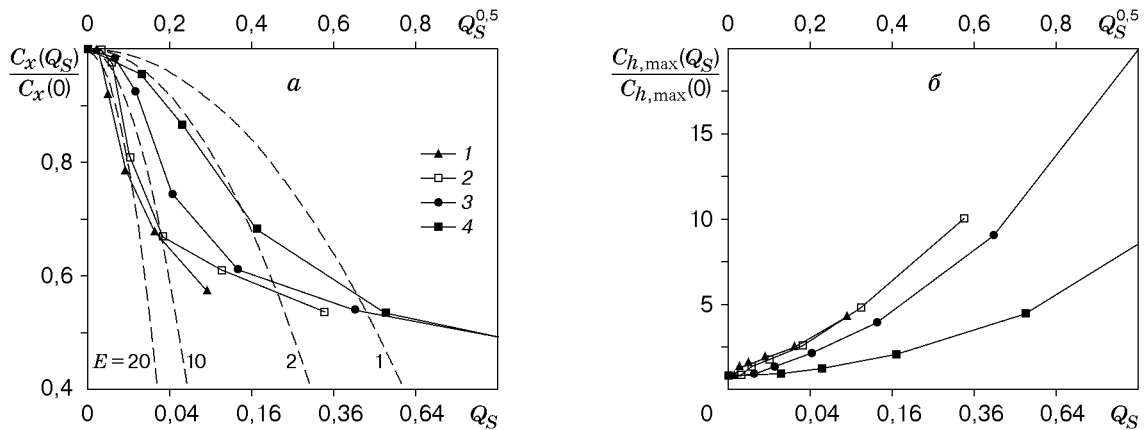


Рис. 2

Указанные величины отнесены к их значениям без теплоподвода и представлены в зависимости от безразмерной интенсивности теплового источника Q_S . Параметр Q_S пропорционален отношению суммарной мощности теплоподвода к потоку кинетической энергии набегающего потока через миделево сечение обтекаемого тела:

$$Q_S = 2\pi \int \frac{\omega_h y}{0,5 C_x(0) \rho_\infty u_\infty^3 \pi R^2} dx dy,$$

где $C_x(0)$ — коэффициент сопротивления без энергоподвода. Параметры теплоподвода Q_S и Q_H связаны соотношением (при $T_\infty \ll T_{v,m}$)

$$Q_S = \frac{2}{C_x(0)(\gamma_\infty - 1)M_\infty^2} \frac{r_h^2}{R^2} Q_H,$$

где γ — показатель адиабаты. Такое представление результатов позволяет оценить эффективность E вклада тепла в снижение сопротивления, которая определяется как отношение сохраненной энергии к энергии, вложенной в нагрев газа:

$$E = \frac{(C_x(0) - C_x(Q_S))0,5\rho_\infty u_\infty^3 \pi R^2}{0,5Q_S C_x(0)\rho_\infty u_\infty^3 \pi R^2} = \frac{1 - \bar{C}_x(Q_S)}{Q_S},$$

где $\bar{C}_x(Q_S) = C_x(Q_S)/C_x(0)$. Распределения этого параметра представлены на рис. 2, а-4, а штриховыми линиями.

На рис. 2 показано влияние размера источника тепла на снижение лобового сопротивления и теплообмен при $M_\infty = 3$, $Re_{R,\infty} = 10^4$ и $Q_S = 0 \div 1$. Данные для $r_h/R = 0,05$ (кривые 1) получены при $d/r_h = 30$, для $r_h/R = 0,1; 0,2; 0,4$ (кривые 2-4) — при $d/r_h = 15$. Из рис. 2, а следует, что с уменьшением r_h/R эффективность теплоподвода, используемого для получения заданного снижения сопротивления, возрастает. Минимальное рассчитанное сопротивление для каждого размера источника соответствует максимальному значению теплового параметра $Q_H = 63$ для всех r_h/R . Минимальное значение $C_x(Q_S)/C_x(0)$ уменьшается с ростом r_h/R , при этом эффективность теплоподвода значительно уменьшается. Проведенный анализ показал, что максимальное снижение сопротивления можно получить при использовании источника тепла размером порядка радиуса сферы R и достаточно большом параметре интенсивности Q_H . Предельные значения $C_x(Q_S)/C_x(0)$ уменьшаются от 0,68 при $M_\infty = 1,5$ до 0,32 при $M_\infty = 6$. Результаты вычислений показывают, что реализация таких режимов требует вклада энергии, во много раз превышающей энергию, затрачиваемую на преодоление сопротивления (без энергоподвода). Кроме того, при этих условиях в десятки раз возрастает интенсивность теплообмена с поверхностью.

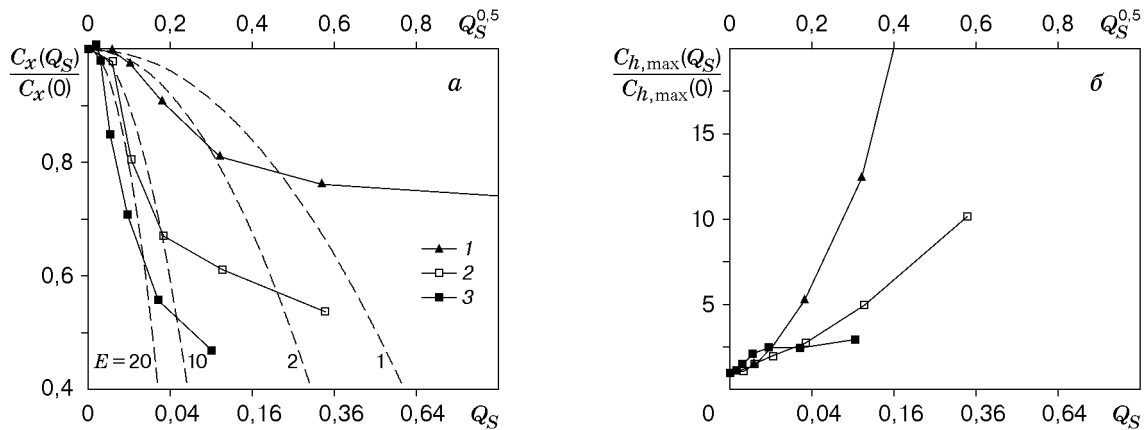


Рис. 3

На рис. 2,а видно, что при относительно малом размере теплового источника имеется тенденция к дальнейшему снижению аэродинамического сопротивления с ростом параметра теплоподвода при $Q_H > \bar{Q}_H$. Вероятно, это связано с ростом радиуса следа при увеличении Q_H .

На рис. 2,б показано влияние размера источника на зависимость $C_{h,max}(Q_S)$. Из приведенных данных следует, что максимальный тепловой поток к поверхности увеличивается с ростом Q_S , но характер этой зависимости отличается от зависимости $C_x(Q_S)$. В результате значительное снижение сопротивления может быть получено при относительно небольшом (в 2–3 раза) увеличении интенсивности нагрева поверхности.

На рис. 3 показано влияние числа Маха на снижение лобового сопротивления и теплообмен (кривые 1–3 соответствуют $M_\infty = 1,5; 3; 6$). Данные получены при $r_h/R = 0,1$, $Re_{R,\infty} = 10^4$, $d/r_h = 15$. Видно, что эффективность использования теплоподвода для снижения лобового сопротивления значительно возрастает с увеличением M_∞ (рис. 3,а). Например, эффективность использования теплоподвода для снижения сопротивления на 20% возрастает более чем в 10 раз при увеличении числа Маха от 1,5 до 6. В то же время, как видно на рис. 3,б, относительный рост параметра $C_{h,max}(Q_S)/C_{h,max}(0)$, вызванный подводом энергии, с увеличением числа Маха существенно замедляется, за исключением области малых значений интенсивности теплоподвода ($Q_S < 0,02$).

На рис. 4 приведены зависимости $C_x(Q_S)$ и $C_{h,max}(Q_S)$, рассчитанные при значениях $Re_{R,\infty} = 10^3; 10^4; 10^5$ (кривые 1–3 соответственно) и $M_\infty = 3$, $r_h/R = 0,1$, $d/r_h = 15$. Как

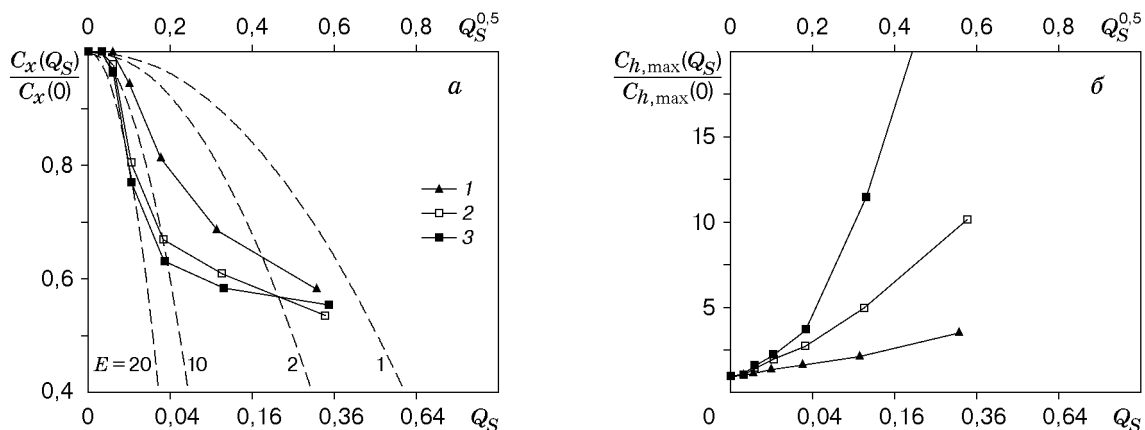


Рис. 4

видно на рис. 4,а, влияние вязкости газа на снижение сопротивления с помощью подвода энергии в набегающий поток становится заметным при $Re_{R,\infty} \leq 10^4$. С уменьшением числа Рейнольдса эффективность использования теплоподвода для снижения сопротивления в целом уменьшается. Значительное влияние оказывает величина числа Рейнольдса на нагрев поверхности (рис. 4,б). Чем больше значение $Re_{R,\infty}$, тем быстрее растут максимальные тепловые потоки к поверхности сферы при увеличении теплоподвода в набегающий поток.

Заключение. Проведены параметрические расчеты сверхзвукового обтекания сферического затупления при наличии в потоке источника энерговыделения. Расчеты выполнены на основе уравнений Навье — Стокса для модели термически равновесного воздуха в широком диапазоне параметров набегающего потока, интенсивности и размера теплового источника. Изучено влияние теплоподвода на поле течения, аэродинамическое сопротивление и нагрев поверхности тела.

Показано, что теплоподвод в набегающий поток приводит к существенному снижению аэродинамического сопротивления. Максимальное снижение сопротивления можно получить при использовании источника тепла достаточно большой интенсивности с характерным размером порядка радиуса сферы. Предельные значения снижения сопротивления уменьшаются от 0,68 при $M_\infty = 1,5$ до 0,32 при $M_\infty = 6$. Однако мощность теплового источника, необходимая для достижения этих предельных значений, намного превышает мощность двигателя, требуемую для преодоления аэродинамического сопротивления при движении в воздухе без теплоподвода.

Эффективность использования теплоподвода для снижения сопротивления возрастает с уменьшением относительного размера источника тепла и ростом чисел Маха и Рейнольдса. Так, при $M_\infty = 3$, $Re_{R,\infty} = 10^3$, $r_h/R = 0,1$ сопротивление полусферы можно снизить на 20 % при эффективности теплоподвода, превышающей 2000 % ($E > 20$).

Подвод тепла приводит к увеличению интенсивности теплообмена, но различный характер зависимостей сопротивления и нагрева от интенсивности теплоподвода позволяет получить значительное снижение сопротивления при сравнительно небольшом увеличении тепловых нагрузок на поверхность обтекаемого тела.

ЛИТЕРАТУРА

1. Мишин Г. И., Климов А. И., Гридин А. Ю. Продольный электрический разряд в сверхзвуковом потоке газа // Письма в ЖТФ. 1992. Т. 18, вып. 15. С. 86–92.
2. Гридин А. Ю., Ефимов В. Г., Забродин А. В., Климов А. И. Расчетно-экспериментальное исследование сверхзвукового обтекания затупленного тела с иглой при наличии электрического разряда в его головной части. М., 1995. (Препр. / РАН. Ин-т прикл. математики; № 19).
3. Третьяков П. К., Гаранин А. Ф., Грачев Г. Н. и др. Управление сверхзвуковым обтеканием тел с использованием мощного оптического пульсирующего разряда // Докл. РАН. 1996. Т. 351, № 3. С. 339, 340.
4. Гордеев В. П., Красильников А. В., Лагутин В. И. и др. Экспериментальное изучение возможности снижения сверхзвукового сопротивления с помощью плазмы // Изв. РАН. Механика жидкости и газа. 1996. № 2. С. 177–182.
5. Chernyi G. G. The impact of electromagnetic energy addition to air near the flying body on its aerodynamic characteristics (russian contribution) // Proc. of the 2nd Weakly ionized gases workshop, Norfolk (USA), 27–30 Apr., 1998. Norfolk: Amer. Inst. Aeronaut. and Astronaut., 1998. P. 1–31.

6. **Chernyi G. G.** Some recent results in aerodynamic applications of flow with localized energy addition. N. Y., 1999. (Paper / AIAA; N 99-4819).
7. **Георгиевский П. Ю., Левин В. А.** Сверхзвуковое обтекание тела при подводе тепла перед ним // Тр. Мат. ин-та АН СССР. 1989. Т. 186. С. 197–201.
8. **Георгиевский П. Ю., Левин В. А.** Сверхзвуковое обтекание тел при наличии внешних источников тепловыделения // Письма в ЖТФ. 1988. Т. 14, вып. 8. С. 684–687.
9. **Бергельсон В. И., Медведюк С. А., Немчинов И. В. и др.** Аэродинамические характеристики тела с различным размещением теплового клина // Мат. моделирование. 1996. № 6. С. 3–9.
10. **Баженова Т. В., Лахов И. Р., Панкова М. Б., Харитонов С. М.** Численное моделирование влияния тепловых неоднородностей в сверхзвуковом потоке на коэффициент сопротивления сферического тела // Численное моделирование течений в нестационарной газовой динамике и МГД. М.: Ин-т высоких температур АН СССР, 1989. С. 53–64.
11. **Борзов В. Ю., Рыбка И. В., Юрьев А. С.** Влияние локального энергоподвода в гиперзвуковой поток на лобовое сопротивление тел с различным затуплением // Инж.-физ. журн. 1994. Т. 66, № 5. С. 355–361.
12. **Georgievsky P. Yu., Levin V. A.** Modification of regime of the flow over a sphere by means of local energy supply upstream // Proc. of the Intern. conf. on methods of aerophys. res., Novosibirsk, 2–6 Sept., 1996. Novosibirsk: Inst. of Theor. and Appl. Mech., 1996. Pt 3. P. 67–73.
13. **Левин В. А., Терентьева Л. В.** Сверхзвуковое обтекание конуса при теплоподводе в окрестности его вершины // Изв. РАН. Механика жидкости и газа. 1993. № 2. С. 110–114.
14. **Коротаева Т. А., Фомин В. М., Шашкин А. П.** Численное исследование влияния локального энергоподвода на трехмерное течение около острых тел. Новосибирск, 1996. (Препр. / РАН. Сиб. отд-ние. Ин-т теорет. и прикл. механики; № 1-96).
15. **Левин В. А., Афолина Н. Е., Громов В. Г. и др.** Влияние источника энерговыведения на сверхзвуковое обтекание тел. М., 1998. (Препр. / Ин-т механики Моск. ун-та; № 36–98).
16. **Levin V. A., Gromov V. G., Afonina N. E.** Navier — Stokes analysis of supersonic flow with local energy deposition. N. Y., 1999. (Paper / AIAA; N 99-4967).

Поступила в редакцию 10/III 2000 г.
